

ность работы вихревого аппарата за счет экономии топливных и сырьевых ресурсов, повышения качества готового продукта.

#### Л и т е р а т у р а

1. Сидельковский Л.Н., Шурыгин А.П. Циклонные энерготехнологические установки. - М.: Госэнергоиздат, 1961. - 80 с.
2. Лю, Рэмсей, Миллер. Шум закрученных струй. - Ракетная техника и космонавтика, 1977, т. 15, № 5, с. 642-646.
3. А.с. 927320 (СССР). Способ автоматического управления аппарата - том циклонного типа. /Ю.К.Тодорцев, А.И.Ваганов. Оpubл. в Б.И., 1982, № 18.
4. Авиационная акустика /Под ред. А.Г.Мунина, В.Е.Квитки. - М.: Машиностроение, 1973. - 448 с.
5. Кныш Ю.А., Лукачев С.В. Экспериментальное исследование вихревого генератора звука. - Акустический журнал, 1977, т. 23, вып. 5, с. 776-782.
6. Кныш Ю.А., Урывский А.Ф. К теории возникновения регулярных пульсаций в закрученном потоке жидкости. - Изв. вузов СССР. Авиационная техника, 1982, № 1, с. 83-89.
7. Киясбейли А.Ш., Перельштейн М.Е. Вихревые измерительные приборы. - М.: Машиностроение, 1978. - 152 с.
8. Захаров Ю.С., Тихомиров В.П. Обнаружение и измерение частоты слабого сигнала, скрытого шумами, методом счета нулей. - Изв. вузов СССР. Радиотехника, 1964, № 5, с. 602-608.

УДК 621.7.02

В.И.Немировский

АЛГОРИТМИЧЕСКОЕ МОДЕЛИРОВАНИЕ  
ГИДРОДИНАМИКИ ЗАКРУЧЕННЫХ ПОТОКОВ  
В ОСЕСИММЕТРИЧНЫХ КРИВОЛИНЕЙНЫХ КАНАЛАХ

Неполнота идеальной модели будет заключаться в использовании априорной информации о распределении  $E(\Psi)$  и  $\Gamma(\varphi)$  в области обратного тока. Разбиение области течения на подобласти и введение естественной системы координат позволяет получить картину течения в целом.

Для этой цели [1] в плоскости меридионального сечения  $q_3 = \varphi = const$  выберем в качестве  $q_2 = const$  и  $q_1 = const$  соответственно линии тока и семейство ортогональных к ним кривых. Поскольку в стационарном случае линии тока меридионального течения совпадают по направлению с

вектором меридиональной скорости  $\bar{V}_m$ , то для уравнений Эйлера это дает следующее:

$$\left. \begin{aligned} \frac{\partial E}{H_1 \partial q_1} &= \frac{V_3}{H_3 H_1} \frac{\partial H_3 V_3}{\partial q_1}; \\ \frac{\partial E}{H_2 \partial q_2} &= \frac{V_3}{H_3 H_2} \frac{\partial H_3 V_3}{\partial q_2} + \frac{V_1}{H_1 H_2} \frac{\partial H_1 V_1}{\partial q_2}; \\ \frac{\partial E}{H_3 \partial q_3} &= - \frac{V_1}{H_1 H_3} \frac{\partial H_3 V_3}{\partial q_1} = 0; \\ \frac{1}{H_1 H_2 H_3} \frac{\partial (H_2 H_3 H_1)}{\partial q_1} &= 0 \end{aligned} \right\}$$

Заметим, что первое и третье уравнения выражают указанное выше свойство

$\frac{\partial E}{H_1 \partial q_1} = 0$ ,  $\frac{\partial \Gamma}{H_1 \partial q_1} = 0$ ,  
т.е.  $E$  и  $\Gamma$  не меняются вдоль линий тока (направление  $q_1$ ) и зависят только от функции тока.

Полученная система дифференциальных уравнений эллиптического типа решается численным методом, являющимся модификацией метода прямых.

Рассмотрим произвольную достаточно гладкую кривую  $l$  в меридиональной плоскости в известном смысле близкую к координатной кривой  $q_2$  (квазиортогональ). Введем естественную параметризацию  $l$ , т.е. координатой вдоль  $l$  служит длина кривой  $l \in [0, L]$ . Пусть  $\bar{e}_e$  - касательная,  $\bar{n}$  - нормаль к кривой в точке  $l$  и  $\delta = (\bar{e}_e, \bar{q}_2) = (\bar{n}, \bar{q}_1)$ .

Проекция градиента энергии на направление  $\bar{e}_e$  дает следующее:

$$\frac{\partial E}{\partial l} = (\text{grad } E, \bar{e}_e) = \frac{V_3}{H_2 H_3} \frac{\partial H_3 V_3}{\partial q_2} \cos \delta + \frac{V_1}{H_1 H_2} \frac{\partial H_1 V_1}{\partial q_2} \cos \delta.$$

Элементарные преобразования с учетом уравнения неразрывности приводят к уравнению для градиента скорости вдоль  $l$ :

$$\frac{dv_1}{dl} + v_1 f(l) = g(l),$$

$$f(l) = \frac{d\delta}{dl} \text{tg} \delta + \alpha \text{tg} \delta - \kappa / \cos \delta + \sin \gamma \sin \delta / r;$$

$$g(l) = r \frac{dE}{d\psi} - v_1 \frac{dr v_1}{d\psi},$$

$$\psi(l) = \int_0^l v_n r de = \int_0^l v_1 \cos \delta r de.$$

Меридиональная линия тока  $\psi = \text{const}$ .

В выражение  $f(\ell)$  входят геометрические параметры линий тока и квазиортогонали  $\ell$  :

$$\gamma = (\widehat{z}, \widehat{q}_i), \nu = (\widehat{r}, \widehat{z}_e), \kappa = \partial \gamma / \partial s_i, \alpha = d\nu / d\ell, \delta = \gamma - \nu$$

Если известны  $f(\ell)$  и  $g(\ell)$ , уравнение относительно  $V$  может быть решено в квадратурах:

$$V_i(\ell) = \exp(-\int_0^\ell f d\ell) \left[ \int_0^\ell g(\ell) \exp(\int_0^\ell f d\ell) d\ell + V_0 \right]$$

$V_0$  находится из уравнения неразрывности (расхода)  $2\pi \Psi(L) = Q$ .

Рассмотрим семейство "квазиортогоналей"  $\{\ell_i\}_{i=1}^M$ . Вместе с трубами тока равных расходов они образуют полуфиксированную расчетную сетку. Точки пересечения линий тока и сечений назовем узлами расчетной сетки. Обозначим через  $\ell_{ij}$  координаты  $j$ -го узла вдоль  $i$ -го расчетного сечения. Таким образом,  $j$ -й линии тока соответствует дискретное представление в виде вектора  $(\ell_{ij})_{i=1, \dots, M}$ , по координатам которого вычисляются конечно-разностные аналоги геометрических параметров:

$\{(\frac{\delta}{\nu}, \frac{\kappa}{\alpha})_{ij}\}$ . Затем решаются уравнения для градиента скорости вдоль  $(\ell_i)$  и восстанавливается распределение функции тока в узлах  $\mathcal{Z} = (\ell_{ij})_{i=1, \dots, M, j=1, \dots, N}$ .

Для вычисления интегралов используется квадратурная формула Симпсона, а для областей с нерегулярной геометрией - формула правосторонних прямоугольников. Далее с помощью оператора обратной интерполяции получается новая матрица  $\mathcal{Z} = (\ell_{ij})_{i=1, \dots, M, j=1, \dots, N}$ . Таким образом, итерационный процесс идет по следующей схеме. Пусть  $K$  - номер итерации и известна матрица  $\mathcal{Z}^{(K)} = (\ell_{ij}^{(K)})_{i=1, \dots, M, j=1, \dots, N}$ .

Тогда

$$\mathcal{Z}^{(K)} \rightarrow \left\{ \left( \frac{\delta}{\nu}, \frac{\kappa}{\alpha} \right)_{i=1, \dots, M, j=1, \dots, N} \right\} \rightarrow V^{(K)} \rightarrow \Psi^{(K)} \rightarrow \\ \rightarrow I^{-1}(\mathcal{Z}^{(K)}, \Psi^{(K)}) (E_\psi, \dots, E_\psi) = \mathcal{Z}^{(K+1)},$$

где

$I^{-1}$  - оператор обратной интерполяции;

$E_\psi = \frac{Q}{(2\pi r)} (a_1, 2, \dots, (n-1))^T$  вектор-столбец;

$\Psi^{(K)} = (\Psi_{ij}^{(K)})$  - матрица распределения функции тока в узлах сетки.

Итерационный процесс заканчивается, если  $\max_{ij} |\Psi_{ij}^{(K+1)} - \Psi_{ij}^{(K)}| / |\Psi_{ij}^{(K)}| < \epsilon$ . Удачный выбор расчетной сетки во многом определяет сходимость итерационного процесса. В частности, входящее в  $f(\ell)$  слагаемое  $\sin \gamma \sin \delta / r$ , как нетрудно показать, при  $\delta = \gamma$  и стремлении  $r \rightarrow 0$  имеет предел  $\lim_{r \rightarrow 0} \sin^2 \gamma / r = 2\kappa$ , где  $\kappa$  - кривизна линии тока в точке касания ее с осью симметрии. Отсюда следует вывод, что в окрестности оси  $\mathcal{Z}$  расчетные сечения  $(\ell_i)$  должны быть ортогональны к  $\mathcal{Z}$ . Описанный численный метод реализован в Фортран-программе для ЭВМ BESM-6.

В качестве тестовых моделей течений обычно используют точные решения уравнений гидродинамики.

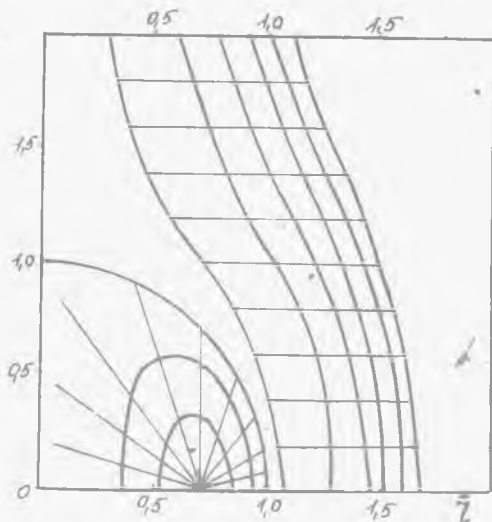
Применим программу на примере расчета сферического вихря Хилла. Исходные данные для расчета заимствованы из [2]. Течение определяется функцией тока  $\Psi = (r^2 + z^2 - 1)r^2$  и энергией на входе  $E(\Psi) = 10\Psi$ .

Из рис. 1 видно, что область течения разделяется на две зоны: бесциркуляционного течения и непосредственно самого вихря, ограниченного нулевой линией тока (окружность радиуса 1).

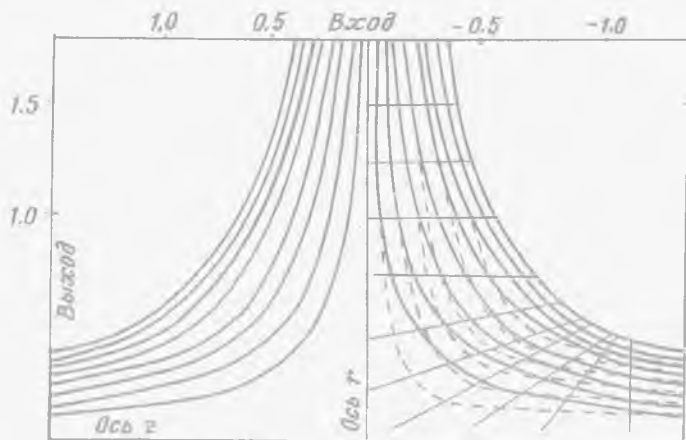
Как было сказано выше, описанный алгоритм решения уравнений Эйлера существенно зависит от монотонности функции тока на расчетном сечении. В этой связи в каждой области была введена локальная расчетная сетка. Для сравнения с точным решением и литературным источником расчет в бесциркуляционной зоне проводился в трубке тока, ограниченной  $\Psi = 0,25$  и  $\Psi = 5$ . Число сечений 15, число линий тока 11, погрешность  $\epsilon = 0,01$ , число итераций 9, время работы процессора 3 мин. В области вихря сетка состояла из 19 расчетных сечений (радиальные лучи) и 7 линий тока, число итераций 15, время работы процессора 5 мин.

В работе [5] приведены результаты экспериментального исследования вихревой камеры с гиперболическими торцами и схема расчета скоростей в рамках одномерной модели. Для получения осесимметричной картины течения проводился расчет по изложенному выше алгоритму по исходным данным работы [5]. Движение газа осуществлялось с высокой степенью крутки, число Россби  $\approx 0,15$ . Пробный расчет был сделан в предположении потенциальности потока, т.е.  $\Gamma = rV_\theta = \text{const}$  (рис. 2).

Естественно, что качественное согласование результатов расчетов с материалами [5] было получено лишь в зоне, близкой к потенциальному течению при  $r > r_{\text{вих}}$ .



Р и с. 1. Расчет сферического вихря Хилла



Р и с. 2. Расчет вихревой ямы

Расчетная сетка состояла из 20 фиксированных сечений и 17 линий тока. Погрешность  $\epsilon = 0,01$ . Время работы процессора 15 мин. На рис.2 пунктиром показано начальное приближение - равноскоростной поток.

На основании вышеизложенного можно сделать следующие выводы:

1. Разработанная программа для ЭВМ БЭСМ-6 позволяет проводить алгоритмическое моделирование для широкого класса технических задач (построение полей скоростей и давлений, меридиональных линий тока в точных частях турбин, циклонных установок и т.д.).

2. Процедура построения квазиортогональной криволинейной сетки обеспечивает адаптацию алгоритма численного решения уравнений Эйлера к геометрии области.

3. Разбиение области с циркуляционными течениями на подобласти с введением локальных расчетных сеток дает возможность моделировать течения более сложной структуры.

#### Л и т е р а т у р а

1. Этинберг И.Э. Методика расчета осесимметричного потока в гидротурбинах. - Энергомашиностроение, 1973, № II, с. 23-25.

2. Дорфман Л.А. Численные методы в газодинамике турбомашин. - Л.: Энергия, 1974. - 272 с.

3. Гольдштик М.А. Вихревые потоки. - Новосибирск: Наука, 1981. - 268 с.

4. Кашихов А.В. Замечание к постановке задачи протекания для уравнений идеальной жидкости. - ПММ, 1980, т. 44, вып. 5.

5. Волчков Э.П., Кардаш А.П., Терехов В.И. Гидродинамика вихревой камеры с гиперболическими торцовыми крышками. - Изв. СО АН СССР. Сер. техн. наук, 1981, № 13, вып. 3.

УДК 621.7.02.088.8

И.В.Елыкин, А.Г.Мелентьев, П.Т.Сменковская, А.И.Солодков

О ДВИЖЕНИИ РАБОЧЕЙ ЖИДКОСТИ  
В ВИХРЕВОЙ МОЮЩЕЙ ГОЛОВКЕ

Схема вихревой моющей головки (ВМГ) приведена на рис. 1. Жидкость впрыскивается в рабочую полость головки или вводится непосредственно в сопловые каналы.

Для определения характера движения жидкости в ВМГ необходимо рассмотреть газодинамику воздушного потока внутри рабочей полости головки. Основные положения газодинамики воздушного потока в ВМГ сформулированы А.П.Меркуловым [1].

Воздух всасывается в камеру ВМГ через сопла, равномерно расположенные по периметру торцового уплотнения или на верхней части корпуса, тангенциально и приобретает вращательное движение. Распределение статического давления по радиусу выражается формулой

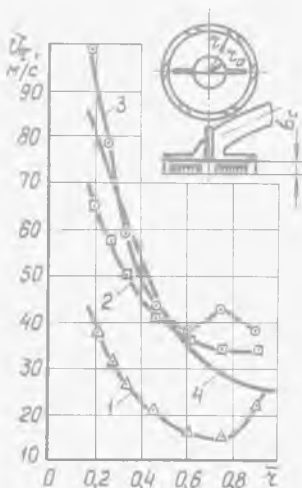
$$P = P_1^* - \frac{\rho V_{\tau}^2}{2}$$

При  $z = z_a$  и  $P = P_a$  имеем давление на выходе из ВМГ

$$P_a = P_1^* - \frac{\rho V_{\tau a}^2}{2}$$

Отсюда скорость перед диафрагмой

$$V_{\tau a}^2 = \frac{2}{\rho} (P_1^* - P_a) = \frac{2}{\rho} \Delta P_a$$



Р и с. 1. Кривые распределения тангенциальной скорости по радиусу при  $P_a = 0,06 \cdot 10^5$  Па,  $z_a = 0,23$ : 1-сопла уплотнения,  $r_1 = 800$  мм<sup>2</sup>, расстояние от обрабатываемой поверхности  $\sigma = 6$  мм; 2-сопла расположены сверху корпуса,  $r_2 = 366$  мм<sup>2</sup>,  $\sigma = 6$  мм; 3-то же,  $\sigma = 6$  мм; 4-расчетная кривая